

УДК 539.3

МОДЕЛИРОВАНИЕ КОНЕЧНЫХ ПЛОСКИХ ДЕФОРМАЦИЙ БЕСКОНЕЧНО ПРОТЯЖЕННЫХ УПРУГИХ ТЕЛ С ЖЕСТКИМИ ВКЛЮЧЕНИЯМИ

Рябова О.А.

Кафедра вычислительной математики

Поступила в редакцию 07.02.2011, после переработки 20.02.2011.

Решается методом Ньютона-Канторовича задача о распределении напряжений в упругом теле с возникающими в теле жесткими круговыми включениями для случая конечных плоских деформаций. Исследуется напряженно-деформированное состояние вблизи жестких включений и проводится сравнение решений задачи, полученных методом малого параметра и методом Ньютона-Канторовича.

The problem of stress distribution in elastic solid with rigid circular inclusions, arising in a solid, is solved by Newton - Kantorovich method under the conditions of finite plane strains. Is investigated of stress distribution near to rigid inclusions. The comparison of solutions obtained by method of small parameter and Newton - Kantorovich method is performed.

Ключевые слова: конечные плоские деформации, упругое тело, жесткие включения.

Keywords: finite plane strains, elastic solid, rigid inclusions.

Введение

Рассматривается модель деформирования предварительно нагруженных бесконечно протяженных нелинейно-упругих тел с возникающими в них жесткими круговыми включениями (с учетом изменения размеров включений после их образования). Соответствующая данной модели краевая задача решена приближенными численно-аналитическими методами. Нелинейная задача решается методом Ньютона-Канторовича [6]. Решение линеаризованной задачи осуществляется методом Мухелишвили [8]. Ранее задача о распределении напряжений в бесконечно протяженном нелинейно-упругом теле для случая конечных плоских деформаций была решена методом малого параметра (метод последовательных приближений) [9, 10], применение метода Ньютона-Канторовича к решению задач о концентрации напряжений упругих включений, образованных в предварительно нагруженных телах при конечных деформациях, рассмотрено в [1]. Исследуется напряженно-деформированное состояние вблизи жестких включений и проводится сравнение решений задачи, полученных методом малого параметра и методом Ньютона-Канторовича.

1. Постановка задачи

Имеется бесконечно-протяженное нелинейно-упругое тело из материала Муни. В начальном (ненапряженном) состоянии в теле отсутствуют напряжения и деформации. Затем, под воздействием внешней начальной нагрузки, приложенной к телу, в теле накапливаются большие напряжения и деформации. Тело переходит в промежуточное состояние. В теле возникает жесткое включение. Его возникновение не меняет напряженно-деформационное состояние в оставшейся части тела. Далее радиус включения меняется на заданную величину. При этом происходит смещение частиц тела на границе включения, в теле возникают дополнительные большие (по крайней мере в окрестности включения) деформации и соответствующие им напряжения, которые накладываются на начальные деформации и напряжения. Тело переходит в конечное состояние. Динамические эффекты, вызванные изменением размера включения, не учитываются.

Предполагается, что главный вектор внешних сил, приложенный к контуру каждого включения, равен нулю.

Используются следующие обозначения:

$\overset{2}{\nabla}$ — оператор градиента в координатах 2-го состояния;

$\Delta_{i,j}$ — относительное изменение объема при переходе из i -го в j -е состояние;

\mathbf{u}_2 — вектор перемещений из 0-го в состояние 2;

$\sigma_{0,2}$ — тензор полных истинных напряжений при переходе из 0-го состояния в состояние 2,

$\sigma_{0,2}^\infty$ — тензор истинных напряжений на бесконечности;

$\Psi_{i,j}$ — аффиноид деформаций при переходе из i -го состояния в j ;

$\mathbf{F}_{0,2}$ — тензор меры, характеризующий деформации $\mathbf{F}_{0,2} = \Psi_{0,2}^* \cdot \Psi_{0,2}$;

$p_{0,2}$ — множитель Лагранжа;

\mathbf{I} — единичный тензор;

Γ — граница включения.

С учетом введенных обозначений математическая постановка задачи в координатах конечного (второго) состояния имеет следующий вид.

Уравнение равновесия:

$$\overset{2}{\nabla} \cdot \sigma_{0,2} = 0. \quad (1)$$

Уравнения несжимаемости:

$$1 + \Delta_{0,1} = 1, \quad 1 + \Delta_{1,2} = 1. \quad (2)$$

Граничные условия:

$$\mathbf{u}_2|_\Gamma = \tilde{u}, \quad (3)$$

где \tilde{u} — смещение частиц тела на границе включения;

$$\sigma_{0,2}|_\infty = \sigma_{0,2}^\infty. \quad (4)$$

Определяющее соотношение для потенциала Муни [7]:

$$\sigma_{0,2} = \frac{\mu}{2} \{ (1 + \beta) \mathbf{F}_{0,2} + (1 - \beta) [(\mathbf{F}_{0,2} : \mathbf{I}) \mathbf{F}_{0,2} - \mathbf{F}_{0,2}^2] \} - p_{0,2} \mathbf{I}, \quad (5)$$

частным случаем потенциала Муни при $\beta = 1$ является потенциал Трелоара

$$\boldsymbol{\sigma}_{0,2} = \mu \mathbf{F}_{0,2} - p_{0,2} \mathbf{I}. \quad (6)$$

Геометрические соотношения:

$$1 + \Delta_{0,1} = \det \boldsymbol{\Psi}_{0,1}, \quad 1 + \Delta_{1,2} = \det \boldsymbol{\Psi}_{1,2}, \quad (7)$$

$$\boldsymbol{\Psi}_{0,2} = \boldsymbol{\Psi}_{0,1} \cdot \boldsymbol{\Psi}_{1,2}, \quad (8)$$

$$\boldsymbol{\Psi}_{1,2} = \left(\mathbf{I} - \frac{2}{\nabla} \mathbf{u}_2 \right)^{-1}. \quad (9)$$

2. Методы решения задачи

При решении задач используется модифицированный метод Ньютона-Канторовича [6]. В качестве начального приближения выбирается

$$\mathbf{u}_1^{(0)} = 0, \quad p_1^{(0)} = 0, \quad \mathbf{u}_2^{(0)} = 0, \quad p_2^{(0)} = 0. \quad (10)$$

В качестве начального приближения для $\boldsymbol{\Psi}_{0,1}$ в соответствии с первым из соотношений (10) выбирается $\boldsymbol{\Psi}_{0,1}^{(0)} = \mathbf{I}$.

Пусть L — линейный оператор вида:

$$L[\mathbf{u}, p] = \mu(1 - \beta)(\nabla \cdot \mathbf{u})\mathbf{I} + \mu(\nabla \mathbf{u} + \mathbf{u} \nabla) - p\mathbf{I},$$

тогда при выборе начального приближения в виде (10) линеаризованная задача для $(i+1)$ -го приближения при применении модифицированного метода Ньютона-Канторовича может быть записана следующим образом:

уравнение равновесия:

$$\frac{2}{\nabla} \cdot L \left[\hat{\mathbf{u}}_2^{(i)}, \hat{p}_2^{(i)} \right] = \mathbf{f}^{(i)}, \quad (11)$$

где $\mathbf{f}^{(i)}$ — вектор «фиктивных» массовых сил для i -го приближения, условие несжимаемости:

$$\frac{2}{\nabla} \cdot \hat{\mathbf{u}}_2^{(i)} = h^{(i)}, \quad (12)$$

граничные условия:

$$\hat{\mathbf{u}}_2^{(i)} \Big|_{\Gamma} = \tilde{u}_2^{(i)}, \quad (13)$$

$$L \left[\hat{\mathbf{u}}_2^{(i)}, \hat{p}_2^{(i)} \right] \Big|_{\infty} = \boldsymbol{\sigma}_{0,2}^{\infty (i)}. \quad (14)$$

После нахождения поправок к решению $\hat{\mathbf{u}}_2^{(i)}$ и $\hat{p}_2^{(i)}$ приближение $(i+1)$ определяется по формулам

$$\mathbf{u}_2^{(i+1)} = \mathbf{u}_2^{(i)} + \hat{\mathbf{u}}_2^{(i)}, \quad p_2^{(i+1)} = p_2^{(i)} + \hat{p}_2^{(i)}. \quad (15)$$

Функции в правых частях уравнений и граничных условий находятся по ниже приведенным формулам.

$$\begin{aligned}\mathbf{f}^{(i)} &= -\nabla \cdot \boldsymbol{\sigma}_{0,2}^{(i)}, \\ h^{(i)} &= \det \boldsymbol{\Psi}_{2,1}^{(i)} - 1, \\ \tilde{u}_2^{(i)} &= \tilde{u}^{(i)} - \dot{\mathbf{u}}_2^{(i)} \Big|_{\Gamma},\end{aligned}$$

где

$$\begin{aligned}\boldsymbol{\sigma}_{0,2}^{(i)} &= \frac{\mu}{2} \left\{ (1 + \beta) \mathbf{F}_{0,2}^{(i)} + (1 - \beta) \left[\left(\mathbf{F}_{0,2}^{(i)} : \mathbf{I} \right) \mathbf{F}_{0,n}^{(i)} - \mathbf{F}_{0,n}^{(i)2} \right] \right\} - p_{0,2}^{(i)} \mathbf{I}, \\ \mathbf{F}_{0,2}^{(i)} &= \boldsymbol{\Psi}_{0,2}^{(i)*} \cdot \boldsymbol{\Psi}_{0,2}^{(i)}, \quad \boldsymbol{\Psi}_{0,2}^{(i)} = \boldsymbol{\Psi}_{0,1} \cdot \boldsymbol{\Psi}_{1,2}^{(i)}, \\ \boldsymbol{\Psi}_{1,2}^{(i)} &= \left[\boldsymbol{\Psi}_{2,1}^{(i)2} - \left(\boldsymbol{\Psi}_{2,1}^{(i)} : \mathbf{I} \right) \boldsymbol{\Psi}_{2,1}^{(i)} + \frac{1}{2} \left(\boldsymbol{\Psi}_{2,1}^{(i)} : \mathbf{I} \right)^2 \mathbf{I} - \frac{1}{2} \left(\boldsymbol{\Psi}_{2,1}^{(i)2} : \mathbf{I} \right) \mathbf{I} \right], \\ \boldsymbol{\Psi}_{2,1}^{(i)} &= \mathbf{I} - \nabla \mathbf{u}_2^{(i)}.\end{aligned}$$

Линеаризованная краевая задача для каждого приближения решается методом Колосова-Мусхелишвили [8]–[10].

3. Результаты

Численные значения получены с помощью программного комплекса «Наложение», который был модифицирован с учетом приведенных выше соотношений [2]–[5].

Результаты решения плоской задачи о напряженно-деформированном состоянии модифицированным методом Ньютона-Канторовича приведены на рис. 1 – 4.

Расчет выполнен для материала Муни при $\beta = 1$. Задача решалась в координатах конечного состояния. Вычислено 5 приближений. Радиус включения $R = 1$, центр включения совпадает с началом координат. Начальное нагружение — одноосное растяжение по оси OY : $\sigma_{11}^{\infty}/\mu = 0$, $\sigma_{22}^{\infty}/\mu = p$.

На рис. 1 приведено распределение напряжения σ_{22}/μ вдоль оси OY при $p = 1,9\mu$. Линии, помеченные цифрами 1–5 соответствуют номерам приближений метода Ньютона-Канторовича. Из рис. 1 видно, что четвертое и пятое приближения метода Ньютона-Канторовича различаются незначительно. Разность четвертого и пятого приближений приблизительно равна 0,2%. Можно сделать вывод о сходимости метода в указанном диапазоне нагрузок.

Из рис. 1 видно, что при $R \leq y \leq 1.5R$ напряжение σ_{22} возрастает, а при $y > 1.5R$ напряжение σ_{22} убывает.

На рис. 2 приведена часть эпюры (1 четверть) истинных контурных напряжений $\sigma_{\varphi\varphi}/\mu$ на границе включения при уменьшении размера включения на 25%. Начальное нагружение — одноосное растяжение по оси OY : $\sigma_{11}^{\infty} = 0$, $\sigma_{22}^{\infty} = 4\mu$. В правом верхнем углу приведен масштаб напряжений, отнесенных к модулю сдвига μ . Линии, помеченные цифрами 1–5 соответствуют номерам приближений метода Ньютона-Канторовича.

На рис. 3 приведена зависимость концентрации напряжения σ_{rr} , отнесенного к модулю сдвига μ , в точке максимальной концентрации напряжения — точке с координатами $(0; 1)$ от напряжения на бесконечности p/μ . Для сравнения приведены

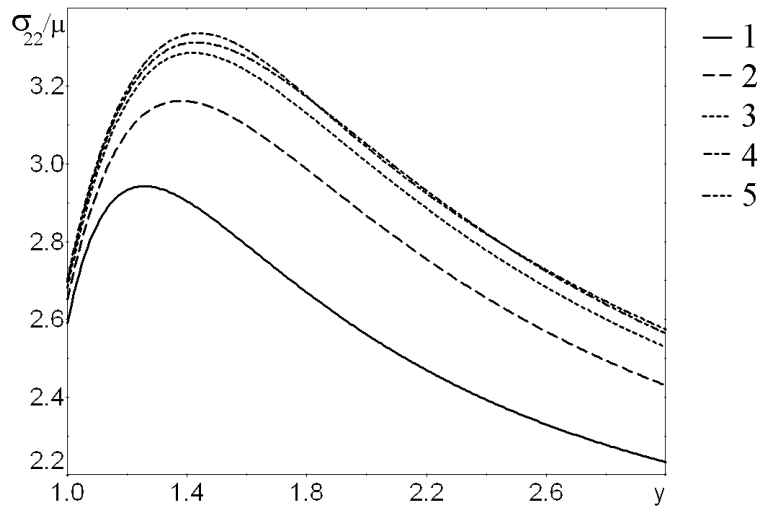


Рис. 1: Зависимость σ_{22}/μ от y

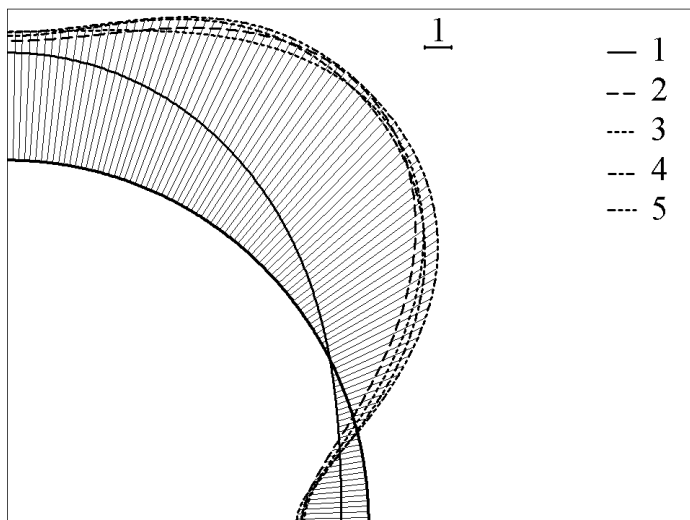


Рис. 2: Часть эпюры истинных контурных напряжений $\sigma_{\varphi\varphi}/\mu$ на границе включения при изменении размеров включения

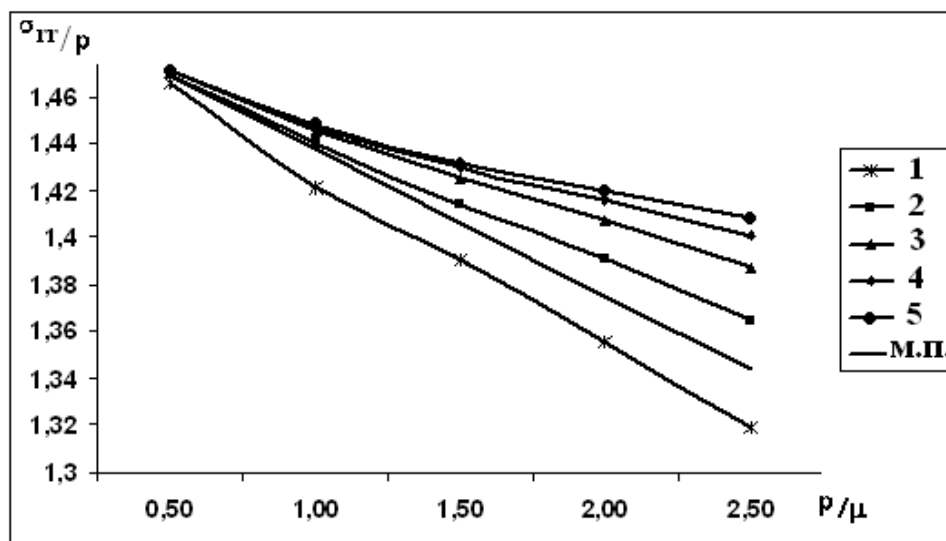


Рис. 3: Концентрация напряжения σ_{II}/ρ в зависимости от напряжений на бесконечности ρ/μ

результаты решений той же задачи методом малого параметра. Сравнивая, видим, что метод малого параметра и метод Ньютона-Канторовича дают примерно одни и те же результаты. Методу малого параметра соответствует сплошная линия. Линии, помеченные цифрами 1 – 5 соответствуют номерам приближений метода Ньютона-Канторовича. Разность между решением, полученным методом малого параметра, и пятым приближением метода Ньютона-Канторовича не превышает 5%. Разность четвертого и пятого приближений в методе Ньютона-Канторовича приблизительно равна 0,5%.

На рис. 4 даны зависимости величин Δ_2 , Δ_3 , Δ_4 и $\Delta_{\text{м.п.}}$ от величины ρ/μ . Используются следующие обозначения:

$$\Delta_{\text{м.п.}} = \max \left| \frac{\sigma_{rr}^{\text{м.п.}} - \sigma_{rr}^5}{\sigma_{rr}^5} \right| * 100$$

$$\Delta_k = \max \left| \frac{\sigma_{rr}^{k+1} - \sigma_{rr}^k}{\sigma_{rr}^k} \right| * 100 \quad k = 1, 2, 3, 4$$

здесь верхний индекс (k) — указывает номер приближений по методу Ньютона-Канторовича, индекс «м.п.» соответствует первому приближению метода малого параметра. Максимум определяется на контуре включения.

Заключение

Таким образом, в статье рассмотрена математическая модель, описывающая при конечных плоских деформациях напряженно-деформированное состояние бесконечно протяженных нелинейно-упругих тел с жесткими круговыми включения-

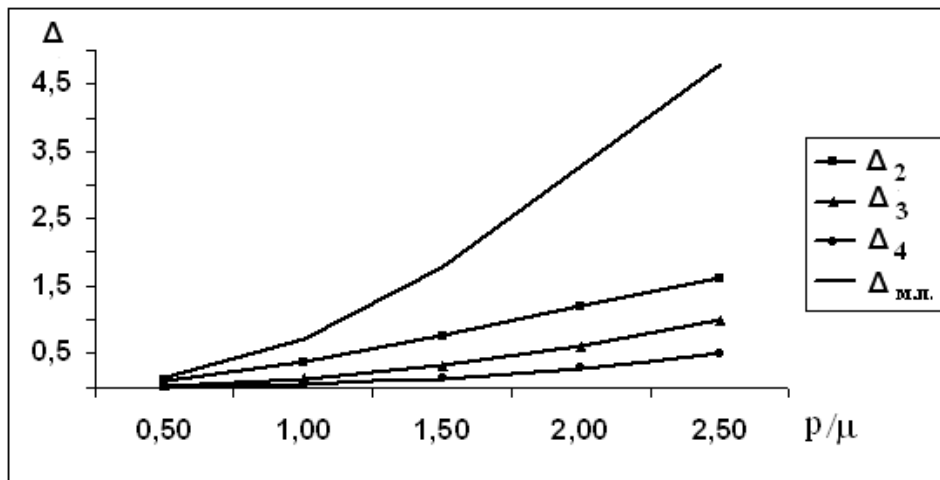


Рис. 4: Зависимость максимального относительного приращения напряжения σ_{rr}/μ при применении методов малого параметра и Ньютона-Канторовича от величины начального нагружения p/μ

ми, возникающими после предварительного нагружения. Модель учитывает возможность изменения размеров включений после их образования. Задача, соответствующая этой модели, решена с применением метода Ньютона-Канторовича, удовлетворяющего граничным условиям на контурах жестких круговых включений. Сравнение результатов решения задач методом малого параметра и модифицированным методом Ньютона-Канторовича показывает незначительное расхождение. Рассмотренная модель может быть использована для описания деформирования резин при кристаллизации, вызванной предварительной деформацией.

Список литературы

- [1] Зингерман К.М., Левин В.А. Перераспределение конечных упругих деформаций после образования включений. Приближенное аналитическое решение. // Прикладная математика и механика. 2009. Т. 73, вып. 6. С. 983-1001.
- [2] Зингерман К.М., Рябова О.А. Программный комплекс для прочностных расчетов для тел с включениями // Программные продукты и системы. Тверь, 2011. С. 153-155.
- [3] Левин В.А., Зингерман К.М. Плоские задачи теории многократного наложения больших деформаций. Методы решения. М.: Физматлит, 2002. 272 с.
- [4] Левин В.А., Зингерман К.М. О погрешности приближенного решения задачи об образовании концентратора напряжений в предварительно нагруженном упругом теле. Наложение больших деформаций. // Известия вузов. Северо-Кавказский регион. Естественные науки. 2000. Спецвыпуск «Нелинейные проблемы механики сплошной среды». С. 99-106.

- [5] Левин В.А., Калинин В.В., Зингерман К.М., Вершинин А.В. Развитие дефектов при конечных деформациях. Компьютерное и физическое моделирование. М.: Физматлит, 2007. 392 с.
- [6] Канторович Л.В., Акилов Г.П. Функциональный анализ. М.: Наука, 1984. 752 с.
- [7] Лурье А.И. Нелинейная теория упругости. М.: Наука, 1980. 512 с.
- [8] Мусхелишвили Н.И. Некоторые основные задачи математической теории упругости. М.: Наука, 1966. 707 с.
- [9] Рябова О.А., Зингерман К.М. Численно-аналитическое моделирование напряженно-деформированного состояния вблизи жестких включений в теле из нелинейно-упругого материала с учетом их взаимовлияния // Вестник Тверского государственного университета. Серия: Прикладная математика. Тверь, 2007. №7. С. 89–98.
- [10] Рябова О.А., Зингерман К.М. Нелинейная модель образования жестких включений в бесконечно-протяженном упругом теле и методы ее исследования // Вестник Тверского государственного университета. Серия: Прикладная математика. Тверь, 2009. №14 С. 37–44.
- [11] Levin V.A., Zingerman K.M. Interaction and microfracturing pattern for successive origination (introduction) of pores in elastic bodies: finite deformation // Trans. ASME. Journal of Applied Mechanics. 1998. Vol. 65, No. 2, P. 431-435.